

ТЕПЛОМАССООБМЕН ММФ-96

ТОМ VI



M I F - 96
HEAT/MASS TRANSFER

**Академия наук Беларуси
АНК "Институт тепло-
и массообмена им. А. В. Лыкова"**

**ТЕПЛОМАССООБМЕН-
ММФ-96**

**HEAT / MASS TRANSFER-
MIF-96**

**III Минский международный форум
(20-24 мая 1996 г.)**

Том VI

ТЕПЛОМАССООБМЕН В РЕОЛОГИЧЕСКИХ СИСТЕМАХ

Минск 1996

Л. М. Ульев

ОСОБЕННОСТИ НЕИЗОТЕРИЧЕСКОГО ФОРМОВАНИЯ РАСПЛАВОВ
ТЕРМОПЛАСТИЧНЫХ ПОЛИМЕРОВ В КОНИЧЕСКО-ЦИЛИНДРИЧЕСКИХ ФИЛЬЕРАХ

В работе моделируется течение ньютоновских расплавов полимеров с аррениусовой зависимостью вязкости от температуры [1] $\mu(T) = \mu_0 \exp(-E/R)(1/T - 1/T_0)$, где $\mu_0 \approx 10^3$ Па·с; $E \approx 5(10^4 \dots 10^8)$ Дж/моль; $T_0 \approx 470$ К в конечно-цилиндрических фильтрах устройства подводного гранулирования для оптимизации его конструкции.

Большое значение вязкости и низкая теплопроводность позволяют моделировать течение расплава в элементах канала фильтра уравнениями ползущего течения, пренебрегая в уравнениях движения поперечной составляющей скорости по сравнению с продольной, а в уравнениях теплопереноса, учитывая диссиацию энергии, конвективный поперечный перенос теплоты пренебрегаем продольной теплопроводностью [2-4].

Для решения этой сопряженной по вязкости задачи ($Gn >> 1$) область течения разбивается на N концентрических конических слоев в конфузоре и цилиндрических — в цилиндре, и предполагается, что коэффициент вязкости в поперечном сечении каждого слоя постоянен и равен значению вязкости, взятому при средней по поперечному сечению этого слоя температуре, а затем решается многослойная задача для этого сечения.

Благодаря такому подходу, система уравнений движения и теплообмена редуцируется к системе обыкновенных дифференциальных уравнений, описывающих средние значения температур в слоях и давление, а также алгебраические выражения для составляющих скорости в каналах фильтра [2-4].

Постановка и решение задач в конфузоре и цилиндре для граничных условий третьего рода даны в [2-4]. Для свивки этих решений переходная область (сферический сегмент) разбивается на концентрические тороидальные слои так, что это позволяет считать результаты на выходе из конфузора начальными данными для уравнений, решаемых в цилиндре.

В качестве тепловых граничных условий выбраны условия третьего рода, и, поскольку каждая фильтра окружена другими фильтрами, за θ_a принимается температура корпуса фильтра, зависящая от продольной

координаты, т. к. при погружном гранулировании температура фильтрной

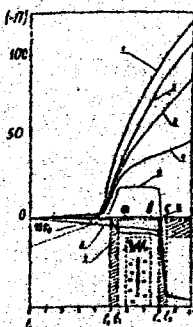


Рис. 1. Распределение безразмерных давления (1, 2, 3, 4) вдоль канала фильтры; 5, 6, 7, 8 - распределение температуры в стенке фильтры; 1, 5 - фильтра без обогрева; 2, 6 - для $\Theta = 0$; 3, 7 - $\Theta = -4,96$; 4, 8 - $\Theta = 9,02$

плиты меняется от температуры расплава в распределительном устройстве до температуры охлаждавшей жидкости со стороны ножей. Кроме того, в расчете Θ_s предполагалось, что, если отсутствует камера с теплоносителем W , то нет и теплоизолирующей прокладки h_1 , а если камера W есть, то от координаты l_3 до l_4 $\Theta_s = \Theta_e$ (рис. 1).

Для изучения особенностей течения и теплообмена рассмотрим задачу с параметрами $Re = 1591,6$; $Gn = 21,2$; $\beta = 1,44 \times 10^{-2}$; $\Delta T_{\text{рео}}$ = 6,65 и $R_0 = 5,33 \times 10^{-2}$ м; $A = 0,0857$; $r_0 = 1,5 \times 10^{-3}$ м, $2\theta_0 = 38^\circ$ и проанализируем четыре варианта теплообмена: 1) течение в фильтре без камеры W ; 2) течение при $\Theta = 0$; 3) $\Theta = -4,96$; 3) $\Theta = 9,02$.

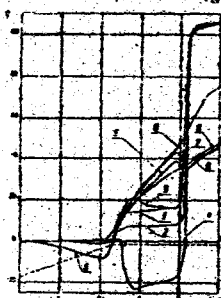


Рис. 2. Распределение безразмерного теплового потока (1, 2, 3, 4) на стенке и средней температуре жидкости (5, 6, 7, 8) вдоль канала. 1, 5 - фильтра без канала W ; 2, 6 - для $\Theta = 0$; 3, 7 - $\Theta = -4,96$; 4, 8 - $\Theta = 9,02$

В начале канала скорость жидкости мала, и во всех случаях диссипация там несущественна. Поэтому в вариантах 2), 3) и 4), когда в конструкции фильтрной доски имеется теплоизолирующая прокладка h_1 (рис. 1), температура Θ_s на большей части течения в конфузоре близка к Θ_e , вследствие чего распределение температуры и скорости остается почти без изменений, давление падает также очень медленно (рис. 1). Для $\Theta = 9,02$ расплав в конфузоре несколько нагревается (отрицательный тепловой поток на стенке (рис. 2)), что вызывает лишь незначительное уменьшение $|grad P|$.

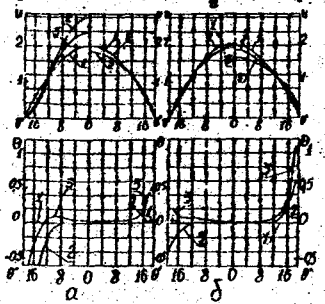


Рис. 3. Распределение безразмерных радиальной скорости $u(t)$ - верхние рисунки и температуры - нижне. а) левая половина для фильтры без канала W , правая с W при $\Theta = 0$; б) левая для фильтры с W при $\Theta = -4,96$, правая при $\Theta = 9,02$. 1 - на входе в конфузор, $R=35,5$ г; 2 - при $R=11$ г; 3 - на выходе из конфузора $R \approx 3,05$ г

При отсутствии камеры W температура уменьшается вдоль конфузора интенсивнее (рис. 1), и жидкость на периферии канала охлаждается ($q > 0$ (рис. 2)), а профиль скорости $U = v_{\infty} \kappa^2$ вытягивается (рис. 3). Вследствие увеличения вязкости на периферии течения модуль градиента давления в этом случае больше, чем в остальных. Когда $\Theta = -4,96$ наблюдаются аналогичные эффекты, но менее выражены из-за наличия теплоизолирующей прокладки h_1 .

Вблизи выхода из конфузора скорость жидкости и соответственно диссипация энергии значительно возрастают, увеличивается и градиент давления (рис. 1). Повышается и температура жидкости на периферии канала (рис. 3). Даже в фильтре без камеры W температура растет, но не у стенки, где жидкость охлаждается, а вблизи оси (рис. 3). В цилиндрической части канала $|dP/dx|$ резко возрастает во всех случаях, но вследствие разных условий теплообмена его поведение различно.

В случае течения в фильтре без камеры W перепад давления наибольший, потому что на вход цилиндрического канала поступает охлажденная у стенок жидкость. Это приводит к большей диссипации и большему перепаду давления. В этом варианте и тепловой поток на стенке в начале цилиндра наибольший, т. к. здесь разность $|\Theta_w - \Theta_a|$ и диссипация энергии наибольшие. Однако при $\Theta = -4,96$ тепловой поток q в районе прокладки h_1 становится больше, т. к. в этом случае Θ меньше, чем в случае 1. Профиль скорости здесь несколько вытягивается, сохраняя при этом стержнеобразную форму с перегибом у стенки (рис. 4), но при малых числах Re это не будет приводить к неустойчивости. Распределение давления в случае 1) и 3) близки.

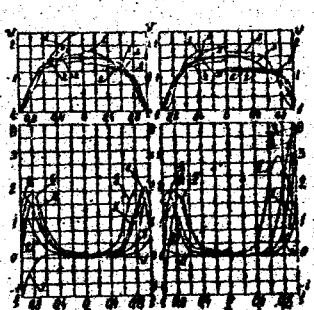


Рис. 4. Распределение безразмерных: продольной составляющей скорости в цилиндре - вверху и температуры - внизу. а) Левая половина для фильтра без камеры W , правая с W при $\Theta = 0$; б) левая половина $\Theta = -4,96$; правая $\Theta = 9,02$. 1 - распределение на входе; 2 - на расстоянии $7,2r_0$ от входа (сечение а на рис. 30); 3 - $18r_0$ (сечение б); 4 - $25,2r_0$ (сечение с); 5 - распределение на выходе

При $\Theta = 0$ и $\Theta = 9,02$ жидкость на вход цилиндрического канала поступает с более развитым тепловым слоем и более плоским профилем скорости (рис. 3, 4). Для $\Theta = 0$ Θ практически до прокладки h_1 равна Θ_0 , а изменение температуры потока на этом интервале происходит только за счет диссипации энергии. Из-за того, что Θ выше,

чем в ранее рассмотренных вариантах, профиль скорости здесь более плоский (рис. 4). В случае $\Theta_s = 9,02$ при течении в конфузоре жидкость нагревается от окружающей среды, что отрицательный (рис. 2). В шлинидре за счет диссипации температура жидкости на периферии становится выше Θ_a , а тепловой поток меняет свое направление и остается положительным до прокладки h_1 (рис. 2), в пределах которой Θ_a увеличивается, что опять изменяет знак и жидкость начинает нагреваться от теплоносителя (рис. 2, 4). В зоне между прокладками $|d\Pi/dx|$ уменьшается из-за уменьшения вязкости на периферии, вследствие этого же здесь наблюдается наиболее наполненный профиль скорости.

В области второй прокладки h_2 Θ_a значительно уменьшается (рис. 1), и во всех рассматриваемых случаях жидкость начинает интенсивно охлаждаться на периферии, здесь быстро растет поток тепла к окружающей среде (при $\Theta_s = 9,02$ он опять меняет знак), достигая за прокладкой h_2 практически одинаковой во всех случаях величины (рис. 2), т. к. здесь Θ_a почти не изменяется доперек пластины во всех вариантах. Профиль скорости здесь вытягивается, и, очевидно для того, чтобы сохранить более наполненный профиль скорости на выходе из фильтры, обеспечивающий получение качественного продукта [4], необходимо футеровать выходную часть канала более мощной теплоизоляцией.

В [4] показано, что тепловой режим течения расплавов термопластичных полимеров в основном определяется величиной числа Cn . При этом зависимость $\Pi(Cn)$ оказывается столь существенной, что невозможно гранулировать ТПУ различной рецептурой, используя одну фильтрную плиту. Но при наличии камеры W можно изменять перепад давления на фильтрной плите, изменения Θ_s . На рис. 5 показана зависимость $\Pi(\Theta_s)$ для одного и того же полимера при различных расходах. При меньшей скорости (меньшее Re) зависимость $\Pi(\Theta_s)$ сильней, т. к. влияние диссипации здесь меньше, а жидкость дольше пребывает в зоне интенсивного теплообмена и более равномерно может прогреться или охладиться, поэтому гораздо сильней влияние зависимости $\mu(T)$, чем при больших скоростях течения. При больших скоростях течение имеет высокотемпературный характер [4], когда вследствие диссипации на периферии образуется маловязкий сдвиговый слой, и в канале формируется стержнеобразное течение с малым градиентом давления на большей его части. Поэтому перепад давления для большего числа Re меньше (рис. 5), а за-

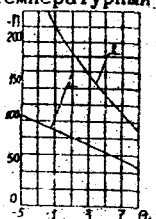


Рис. 5. Зависимость безразмерного перепада давления на фильтрной доске от температуры теплоносителя в канале W . 1-течение с параметрами $Re = 1591,6$; $Cn = 21,2$; 2- с параметрами $Re = 530,5$; $Cn = 2,35$.

вистимость $\Pi(\Theta_s)$ слабее.

Изменяя Θ_s , можно подобрать перепад давления на фильтрной головке, необходимый для технологического режима работы смесителя при синтезе различных марок ТПУ с помощью одной фильтрной доски.

Рис. 6. Левая половина: распределение продольной скорости v_1 и безразмерной вязкости - 2 по радиусу канала на выходе из фильтры без камеры W и без теплоизолирующих прокладок h_1 и h_2 . Правая - распределение безразмерной вязкости в по радиусу канала на выходе: 1- без W ; 2- для $\Theta_s = 0$; 3- $\Theta_s = -4,96$; 4- $\Theta_s = 9,02$.

Заметим, что если в конструкции фильтрной плиты не будет ни камеры W , ни теплоизолирующих прокладок [5], то для некоторых марок ТПУ, например ВИТУР-1013-75, профиль скорости на выходе из такой фильтры будет вытянут, а вязкость будет сильно увеличиваться к периферии канала, в отличие от рассмотренных ранее случаев (рис. 6). При таких условиях переработки полимеров стренги получаются с нерегулярной поверхностью, а при гранулировании может наблюдаться разъязвление полимера по поверхности плиты или закупорка большого числа фильтрных отверстий [4].

О б о з н а ч е н и я

a -температуропроводность; E -энергия активации вязкого течения; $\mu=\mu/\mu_0$; P, P_0 -давление текущее и на входе; $q=B(\Theta_N-\Theta_a)$; R^* -газовая постоянная; R -радиальная сферическая координата, R_0, R_1 -образующие конфузора и усеченной части конфузора; r, r_0 -радиус текущий и цилиндра; T, T_0 -температура текущая и на входе; V_0 -средняя скорость в цилиндре; $v_{co}=V_r/V_0$; $v=V_z/V_0$; z -продольная координата; $\beta=R^*/T_0/E$; $A=R_1/R_0$; $\Theta=(T-T_0)/\beta T_0$; Θ, Θ_0 -угловая сферическая координата и угол раствора конфузора; $\kappa=R/r_0$; $\xi=r/r_0$; $\chi=z/r_0$; $\Pi=(P-P_0)g_0/\mu_0 V_0$; $Re=V_0 r_0/a$; $G_R=\mu_0 V_0^2/\lambda \beta T_0$. Индексы: a относится к окружающей среде; s -к теплоносителю.

Л и т е р а т у р а

1. Пономаренко В. Г., Потебня Г. Ф., Ульев Л. М. и др. // ИФЖ. 1990.-Т. 59, № 1.-С. 158-159.
2. Ponomarenko V.G., Potebnya G.F., Uliev L.M. // Fluid Mechanics of Soviet Research.-1985.-V. 14, No. 4.-P. 40-50.
3. Ульев Л. М. // ТОХТ.-1992.-Т. 26, № 2.-С. 243-253.
4. Ульев Л. М. // ТОХТ.-1995.-Т. 29, № 3.-С. 233-241.
5. Патент № 1202446 ФРГ. Решетка погружного гранулятора термопластов/ Браун З., Роттель Ф., Шипперс Х. 21.09.72. Бюл. № 35.